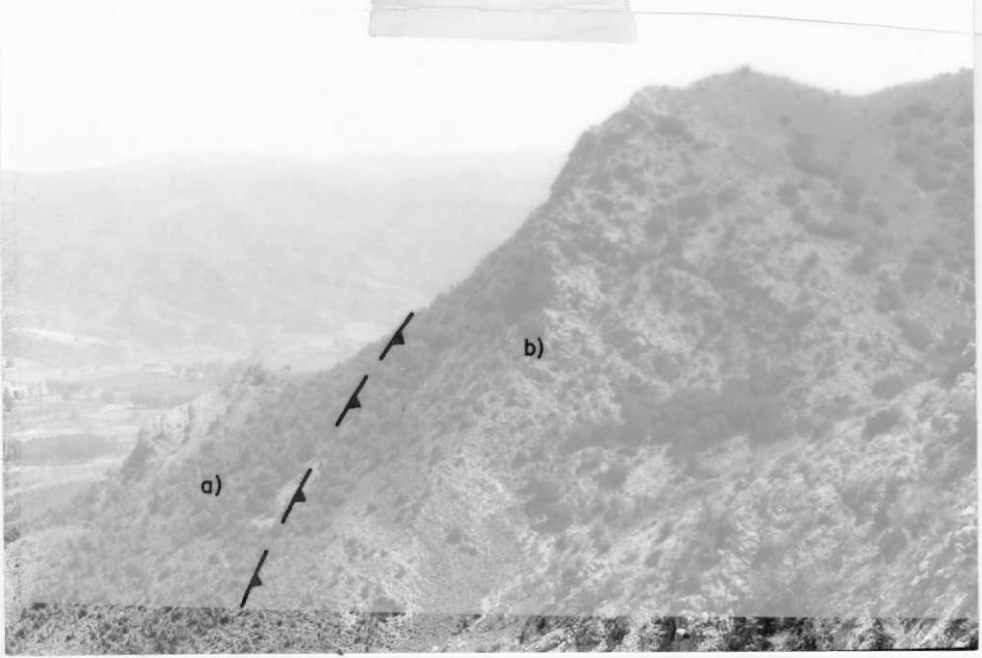


27-20-AD-MM-155.- El Cretácico superior, C_{16-21} sobre la facies Utrillas, C_{16} dibuja un anticlinal tumbado hacia el Norte (izquierda de la foto).

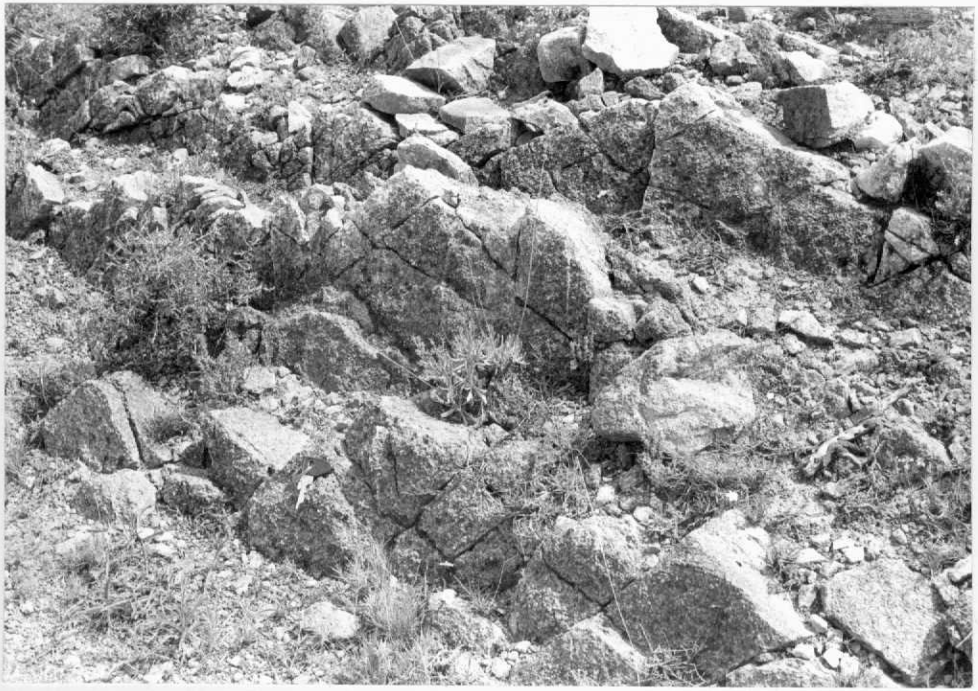


27-20-AD-MM-156.- a) Conglomerados del Oligoceno, cabalgados por el Cretácico superior; b)

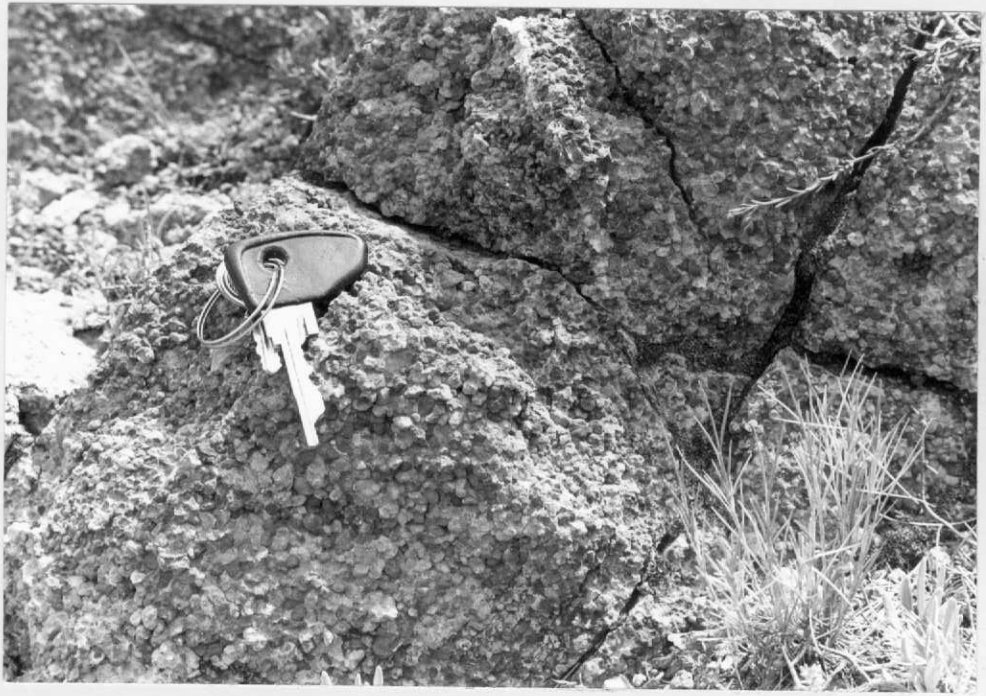
T_c^A 31-32



27-20-AD-MM-157.- Los conglomerados oligocenos de la foto anterior, buzando hacia el sur. T_{C31-32}^{A}



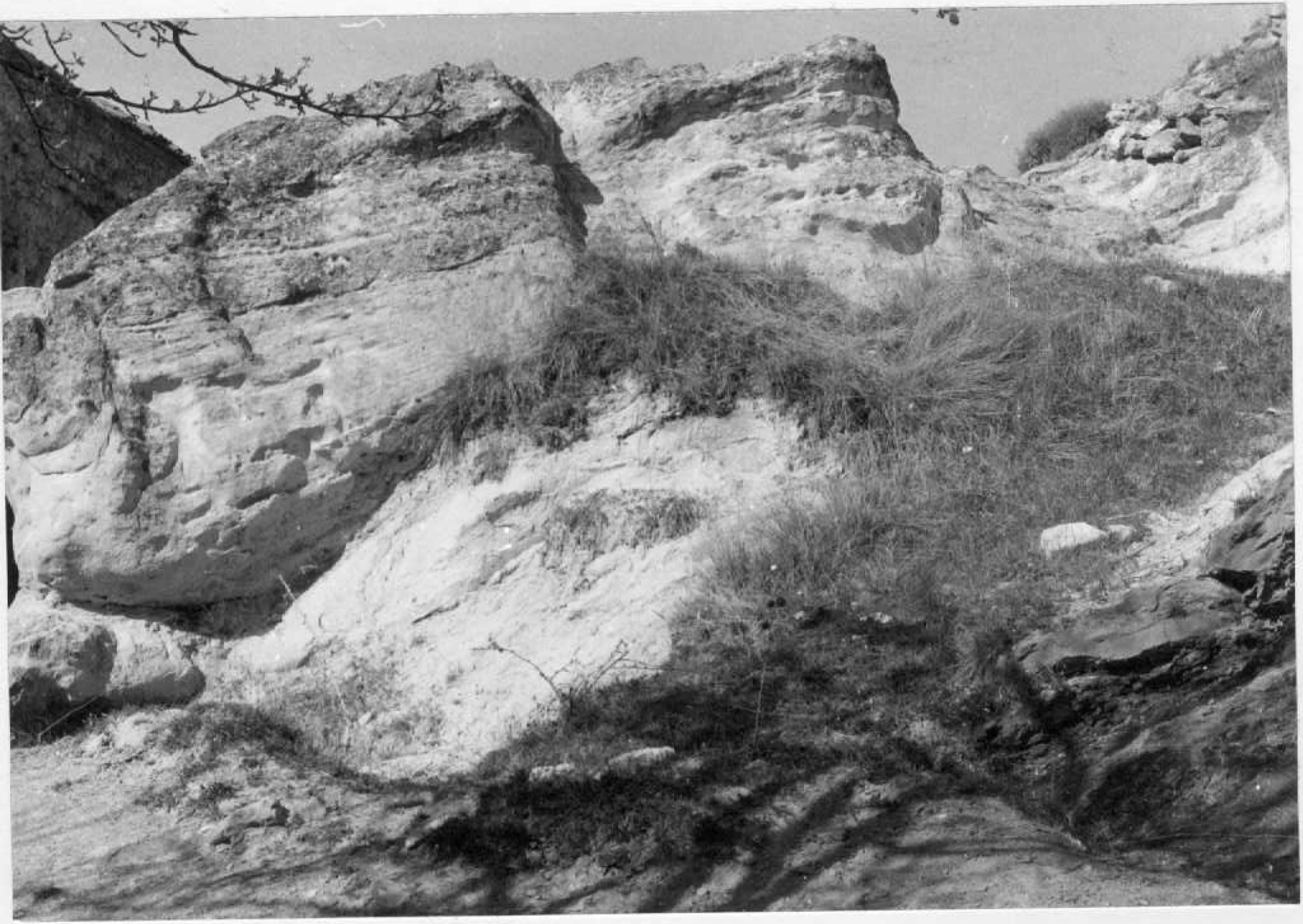
27-20-AD-MM-158.- Estratos de la base del Oligoceno, T^{A}_{C31-32} formados por microconglomerados siendo la mayoría de los clastos de un hard-ground removido.



27-20-AD-MM-159.- Detalle de la foto 158



27-20-AD-MM-160.- Alineación NO-SE del Oligoceno, cortada en dirección sensiblemente perpendicular por los frentes de cabalgamientos.



27-20-AD-MM-161.- Albense en facies Utrillas. C_{16}



27-20-AD-MM-162.- Calizas estromatolíticas en bolos de diámetro centimétrico.

$T_{c\,31-32}$



27-20-AD-MM-163.- Detalle de la sección de un bolo.



27-20-AD-MM-164.- Panorámica tomada desde el Cretácico superior, en primer plano. El valle, en segundo plano, por donde discurre la carretera entre Pancrudo y Rillo, donde se encuentra representado: - el Weald, un Aptense de pocos metros y el Albense en facies Utrillas. En tercer plano, el Jurásico - afectado por fallas que no pasan al Weald ni al Aptense.



27-20-AD-MM-165.- Calizas del Senonense verticales, y formación de travertinos en el fondo del barranco.
QTr



27-20-AD-MM-166.- Panorámica del anticlinal de las Parras de Martín, de núcleo weald y serie completa hasta el Cretácico superior. A la derecha del pueblo, calizas jurásicas.



27-20-AD-MM-167.- Detalle del núcleo del anticlinal de la foto anterior.



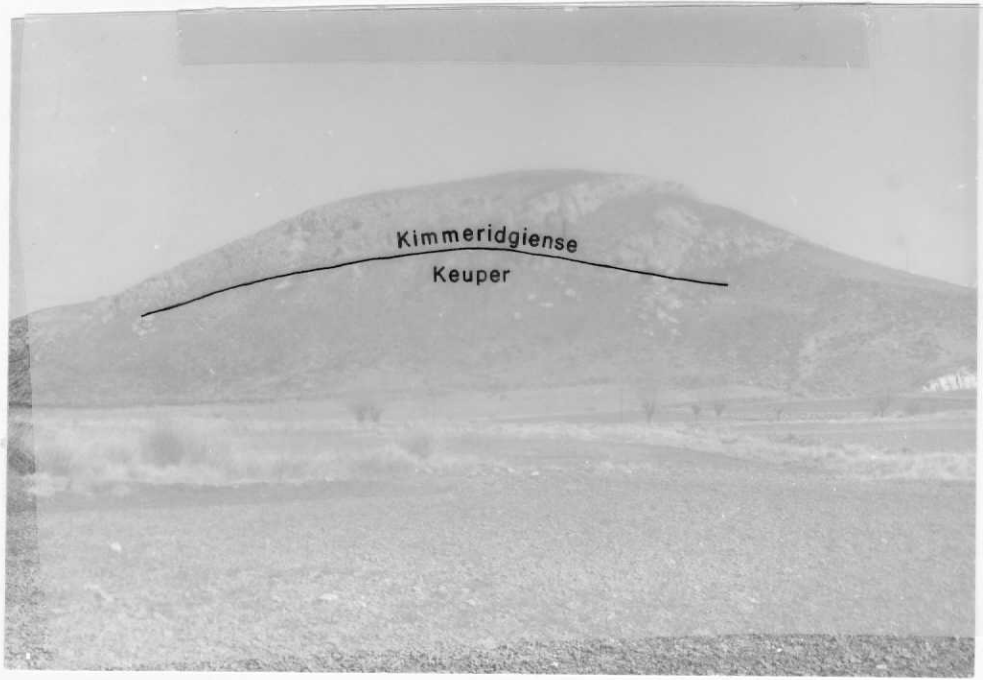
27-20-AD-MM-168.- Cretácico superior al Oeste del Caserío del Pájaro.



27-20-AD-MM-169.- Aptense sobre el Weald.



27-20-AD-MM-170.- Areniscas blancas de la base del Aptense. C_{14-15}



27-20-AD-MM-171.- Kimmeridgiense superior "flotando" sobre Keuper.



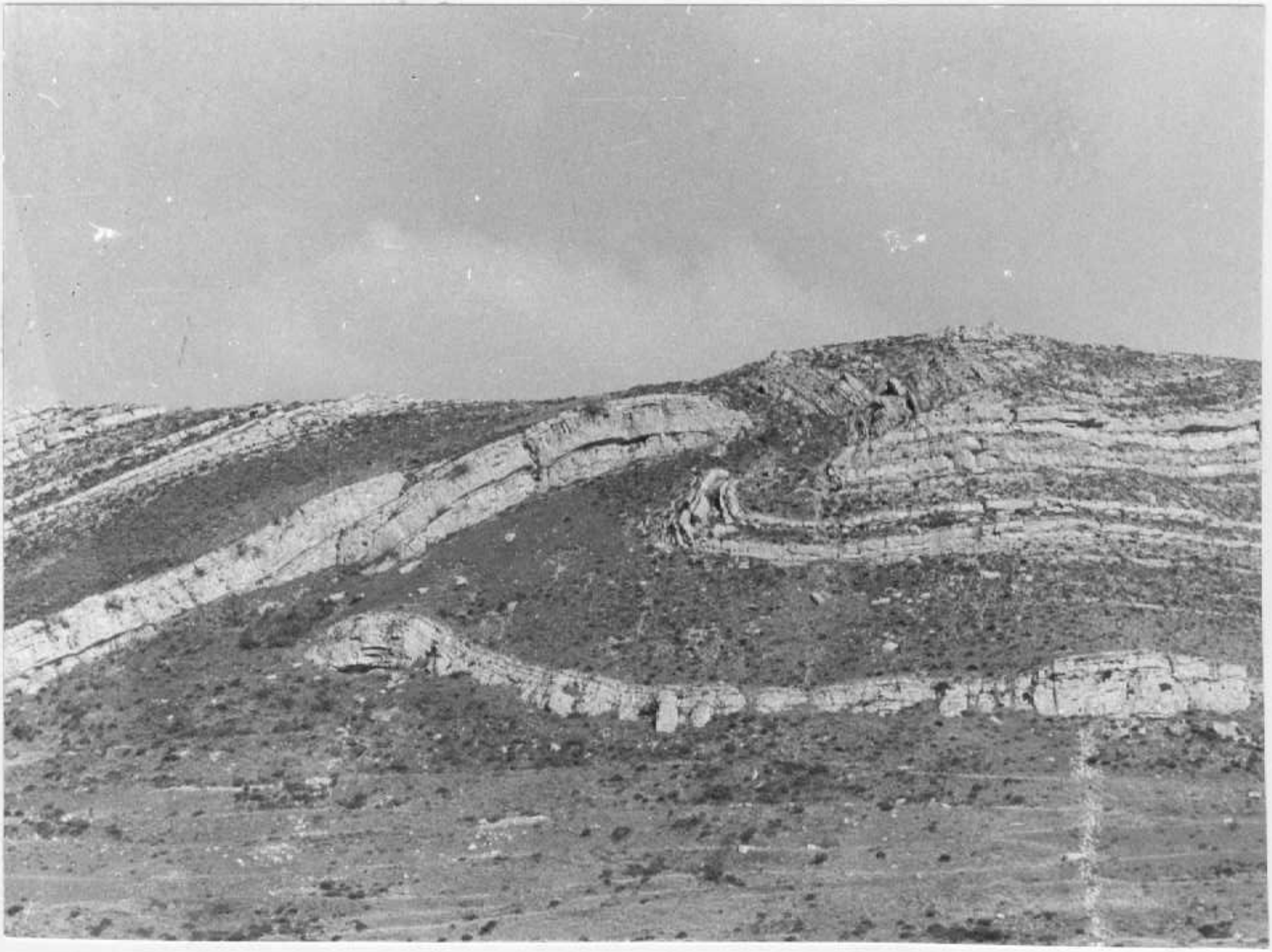
27-20-AD-MM-172.- La facies de transición del Aptense-Albense, C_{15-16} con el Utrillas C_{16} y las calizas del Cenomanense C_{16-21} al techo.



27-20-AD-MM-173.- En el ángulo inferior izquierdo y en primer plano areniscas de la base del Aptense. El valle por donde discurre el arroyo es el Weald. A la derecha calizas del Sinemuriense muy replegadas. Se aprecia una disarmonía tectónica entre el Jurásico y el Cretácico.



27-20-AD-MM-174.- Falla inversa en el Cenomaniense (C_{16-21}) que se apoya sobre el Albense en facies Utrillas. C_{16}



27-20-AD-MM-175.- Detalle de la foto anterior.



27-20-AD-MM-176.- Parte inferior de la facies weald. Cw II-14 A la izquierda (fuera de foto) Jurásico. Sobre él serie de limolitas oscuras - con abundantes caráceas y ostrácodos. Encima conglomerado de unos 4 m. de espesor de bolos jurásicos.



27-20-AD-MM-177.- Muschelkalk al sur de la Ermita de la Langosta.